© Г.И.Джалалов, Е.В.Горшкова, З.Б.Кулиева, М.Г.Ханбабаева, 2015

МОДЕЛИРОВАНИЕ ПОЛЯ ТЕМПЕРАТУРЫ В ДЕФОРМИРУЕМОМ ПЛАСТЕ ПРИ НЕЛИНЕЙНО-УПРУГОМ РЕЖИМЕ ФИЛЬТРАЦИИ НЕФТИ

Г.И.Джалалов, Е.В.Горшкова, З.Б.Кулиева, М.Г.Ханбабаева

Институт геологии и геофизики НАН Азербайджана AZ1143, Баку, просп. Г.Джавида, 119

В статье дается определение поля температуры с учетом эффекта Джоуля-Томсона при установившейся фильтрации нефти к центральной скважине в деформируемом круговом пласте в зависимости от изменения проницаемости вследствие деформации породы. На основании проведенных многочисленных экспериментов построена приближенная математическая модель тепломассопереноса в деформируемом пласте при нелинейно-упругом режиме фильтрации, позволяющая исследовать температурную аномалию на выходе из скважины в зависимости от различных геометрических и физических параметров системы.

Многочисленными экспериментальными исследованиями установлено, что залежи углеводородов характеризуются широким разнообразием термодинамических и реологических условий. Научно обоснованное управление процессами разработки немыслимо без учета взаимосвязи термодинамических и гидродинамических явлений в пласте и скважине, а также особенностей каждого конкретного месторождения. Этому направлению посвящено достаточное количество работ. Подробный обзорный анализ приведен в работах (Абасов и др., 1993; Алишаев и др., 1985; Вахитов и др., 1984; Карачинский, 1975; Рамазанов, 2004; Филиппов, Ахметова, 2011).

При разработке глубокозалегающих месторождений, характеризующихся высокими пластовыми давлениями и температурами, скелет породы продуктивного коллектора подвергается значительным нагрузкам при снижении пластового давления, так как горное давление остаётся неизменным, а эффективное давление растёт. В результате происходят изменения деформационных процессов в пористой среде, сопровождающиеся снижением её пористости и проницаемости. Это оказывает влияние на фильтрацию пластовых флюидов и основные показатели разработки месторождения (Горбунов, 1981; Горшкова, 2009 и др.).

Термодинамические эффекты упругих деформаций твердого скелета при фильтрации жидкостей в более точной постановке рассмотрены П.П.Золотаревым и В.Н. Николаевским (1966). В этой работе основное внимание уделяется оценке влияния тепловых эффектов на процессы деформирования рассматриваемых сред. При этом показано, что ощутимый тепловой

эффект упругих деформаций скелета породы при фильтрации жидкостей проявляется в случаях, когда $\alpha_s << \alpha_f$ (где α_s, α_f — термодинамические коэффициенты расширяемости твердого скелета).

При рассмотрении процесса фильтрации жидкости в глубокозалегающих коллекторах необходимо учитывать не только упругие свойства коллектора, но и предусмотреть возможность появления необратимых деформаций и их влияние на коллекторские свойства пласта (Горбунов, 1981; Горшкова, 2009; Джалалов, Горшкова, 2013).

Анализ многочисленных опытных данных показал, что кривые зависимостей проницаемости и пористости от пластовых давлений при деформациях коллектора с большей степенью точности описываются экспоненциальными зависимостями (Горбунов, 1981; Горшкова, 2009):

$$\overline{k}(p) = e\alpha p \left[-\beta_k (p_o - p) \right],
\overline{m}(p) = e\alpha p \left[-\beta_m (p_o - p) \right].$$
(1)

Здесь
$$\overline{k}(p) = \frac{k(p)}{k_0}$$
, $\overline{m}(p) = \frac{m(p)}{m_0}$, k_0 , m_0 — соот-

ветственно значения проницаемости и пористости пласта при начальном пластовом давлении P_k ; β_k , β_m — соответственно параметры, определяемые экспериментально, характеризующие изменение проницаемости и пористости пласта в зависимости от давления.

В статье дается определение поля температуры с учетом эффекта Джоуля-Томсона при установившейся фильтрации нефти к централь-

ной скважине с радиусом R_c в однородном деформируемом круговом пласте в зависимости от изменения проницаемости вследствие деформации породы.

На контуре пласта поддерживается постоянное давление. Фильтрация жидкости подчиняется линейному закону Дарси. Режим пласта — водонапорный.

Уравнение для определения полей давления в деформируемом пласте имеет вид (Горбунов, 1981; Джалалов, Горшкова, 2013):

$$\frac{1}{r}\frac{d}{dr}\left[\frac{rk_0\bar{k}(p)\rho}{\mu}\frac{dp}{dr}\right] = o,$$
 (2)

где p — давление;

k(p) — изменение проницаемости, вызванное деформацией пласта;

 $k_{_{o}}, \rho, \mu$ — соответственно проницаемость пласта, плотность и вязкость нефти при начальном пластовом давлении.

Для расчета температурного поля пласта с учетом эффекта Джоуля-Томсона воспользуемся уравнением притока тепла (Золотарев, Николаевский, 1966; Карачинский, 1975; Чекалюк, 1965 и др.):

$$\frac{\partial T}{\partial t} + V \frac{\partial T}{\partial r} + \varepsilon V \frac{\partial p}{\partial r} = 0, \tag{3}$$

где

$$V = -\frac{C_{\infty}\rho}{C_{nop}}\frac{k(p)}{\mu}\frac{dp}{dr};$$

T – температура;

 C_m — теплоемкость твердой фазы; ε — коэффициент Джоуля-Томсона.

Система уравнений (2) и (3) решается при следующих начальных и граничных условиях:

$$p/_{r=R} = p_c, p/_{r=R_c} = p_k,$$
 (4)

$$T/_{t=0} = T_{\partial}, T/_{r=R_{t}} = T_{o},$$
 (5)

где p_c и p_k — соответственно значения давления на скважине и контуре питания пласта;

 T_0 — начальное значение температуры пласта.

Решение уравнения (2) с учетом (1) при условиях (4) имеет вид (Горбунов, 1981):

$$P(r) = P_{k} + \frac{1}{\beta_{k}} \ln \left[1 + \frac{1 - e^{(-\beta_{k} \Delta P_{e})}}{\ln \frac{R_{k}}{R_{c}}} \ln \frac{r}{R_{k}} \right], \quad (6)$$

где $\Delta p_c = p_k - p_c$.

С учетом (6) дифференциальное уравнение (3) после несложных преобразований приводим к виду:

$$\frac{\partial T}{\partial t} + \frac{\xi}{r} \frac{\partial T}{\partial r} - \Psi \frac{1}{r^2 \left(1 - \delta \ln \frac{r}{R_k}\right)} = 0, \quad (7)$$

где
$$\delta = \frac{e^{-\beta_k \Delta P_c - 1}}{\ln \frac{R_k}{R_c}}, \quad \xi = \frac{C_{,sc} \rho k_0 \delta}{C_{nop} \mu \beta_k}, \quad \Psi = \frac{\varepsilon \delta \xi}{\beta_k}.$$

Применяя к (5) и (7) преобразование Лапласа

$$T_s(r,s) = \int_0^\infty e^{-st} T(r,t) dt, \qquad (8)$$

получим для распределения изображения температуры следующее выражение:

$$T_{s}(r,s) = \frac{T_{0}}{s} + \frac{\Psi}{s\xi} e^{-\frac{sr^{2}}{2\xi}} \int_{r}^{R_{k}} \frac{e^{\frac{sr^{2}}{2\xi}}}{r\left(1 - \delta \ln \frac{r}{R_{k}}\right)} dr, \quad (9)$$

где s — параметр преобразования Лапласа.

Переход от функции изображения $T_s(r,s)$ из (9) к оригиналу связан со значительными математическими расчетами. В связи с этим повсеместно наиболее распростренным методом решения таких задач стало использование преобразования Лапласа с последующим приближенным переходом к оригиналу.

Одним из наиболее простых методов приближенного перехода изображения к оригиналу является метод Shapery, в котором формула обращения представляется в виде (Shapery, 1963):

$$T(r,t) = sT_s(r,s)|_{s=\frac{1}{2t}}$$
 (10)

Тогда из (8) имеем:

$$T(r,t) = T_0 + \frac{\varepsilon \delta}{\beta_k} e^{-\frac{R_c^2}{4\xi t}} \int_{r}^{R_k} \frac{e^{\frac{r^2}{4\xi t}}}{r \left(1 - \delta \ln \frac{r}{R_k}\right)} \frac{dr}{r} . \quad (11)$$

При режиме постоянного отбора жидкости, заменяя условие (4) на скважине условием

$$\frac{2\pi k_0 \overline{k}(p)h\rho}{\mu} r \frac{dp}{dr}\bigg|_{r=R} = Q, \qquad (12)$$

для распределения полей давления и температуры соответственно будем иметь:

$$P(r) = P_k + \frac{1}{\beta_k} \ln \left[1 + \frac{Q\mu\beta_k}{2\pi k_0 h\rho} \ln \frac{r}{R_k} \right], \quad (13)$$

$$T(r,t) = T_0 + \frac{Q\mu\varepsilon}{2\pi k_0 h\rho} e^{-\frac{R_c^2}{4vt}} \int_r^{R_k} \frac{e^{\frac{r^2}{4vt}}}{r\left(1 + \gamma \ln \frac{r}{R_k}\right)} \frac{dr}{r}, \quad (14)$$

где
$$v = \frac{QC_{\infty}}{2\pi h C_{nop}}; \qquad \gamma = \frac{Q\mu\beta_k}{2\pi k_0 h\rho}$$

С целью количественной оценки влияния геометрических и физических параметров пласта на формирование температурных аномалий по формулам (10) и (13) проведены многочисленные расчеты для различных вариантов исходных данных.

Некоторые результаты этих расчетов приведены в виде графиков.

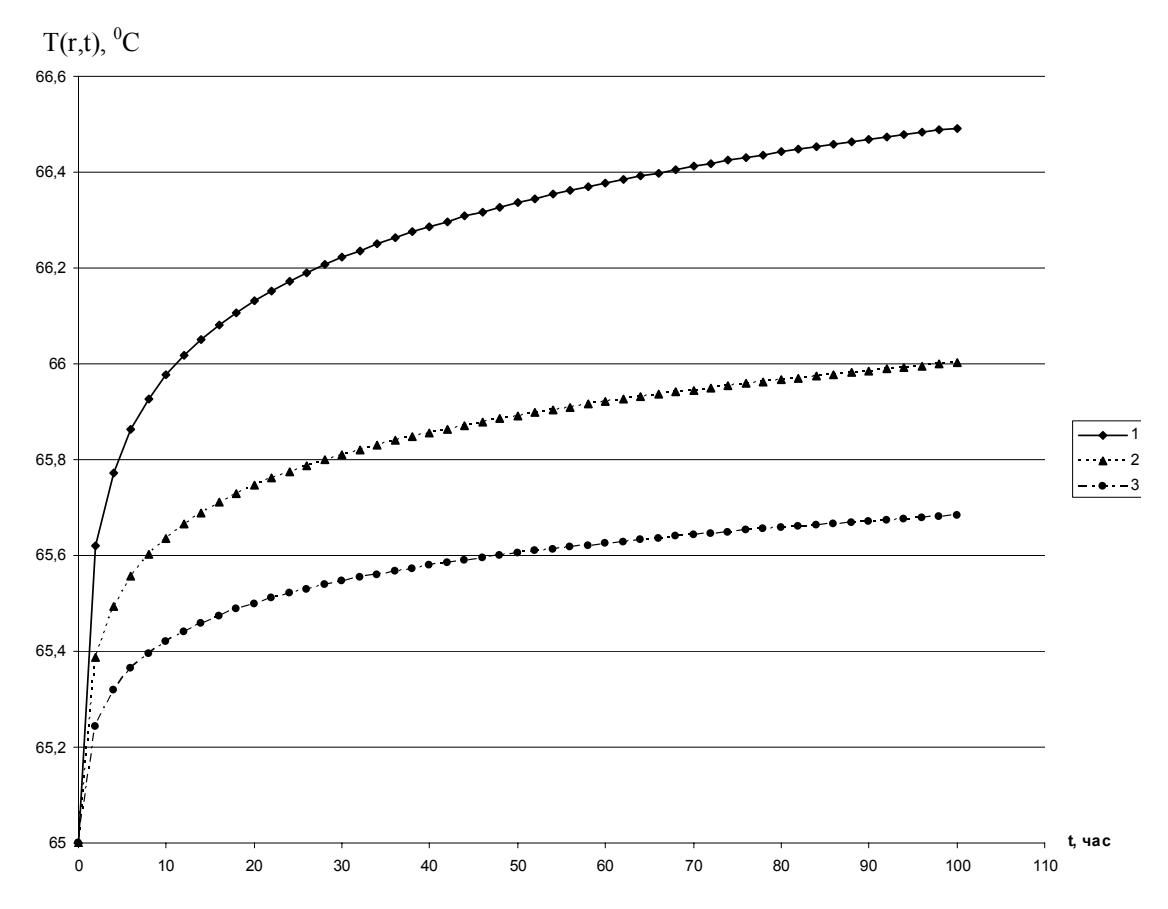


Рис. 1. Изменение температуры на выходе из пласта со временем в зависимости от перепада давления при R_c = 0,2 m; h = 10 m; k_0 =0,1·10⁻¹² m²; T_0 =65⁰C; ϵ = 4·10⁻⁷; μ = 0,005 Па·сек.; β_k =0,3·10⁻⁸ 1/Па; R_k = 1000 m; шифр кривых: 1. ΔP_c = 10⁷ Па; 2. ΔP_c = 7·10⁶ Па; 3. ΔP_c = 5·10⁶ Па

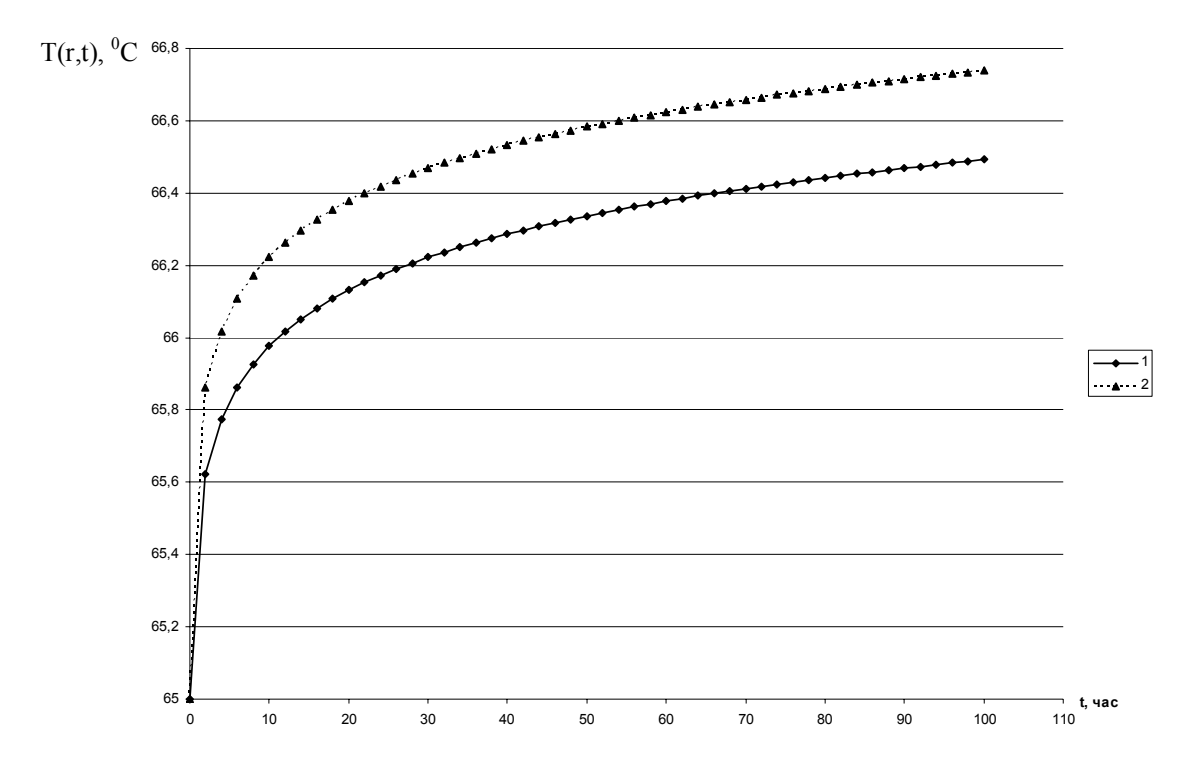


Рис. 2. Изменение температуры на выходе из пласта со временем в зависимости от проницаемости пласта при $R_c = 0.2$ m; h = 10 m; $T_0 = 65^0$ C; $\epsilon = 4 \cdot 10^{-7}$; $\mu = 0.005$ Па·сек.; $\beta_k = 0.3 \cdot 10^{-8}$ 1/Па; $R_k = 1000$ m; $\Delta P_c = 10^7$ Па; шифр кривых: $1. k_0 = 0.1 \cdot 10^{-12}$ m²; $2. k_0 = 0.3 \cdot 10^{-12}$ m²

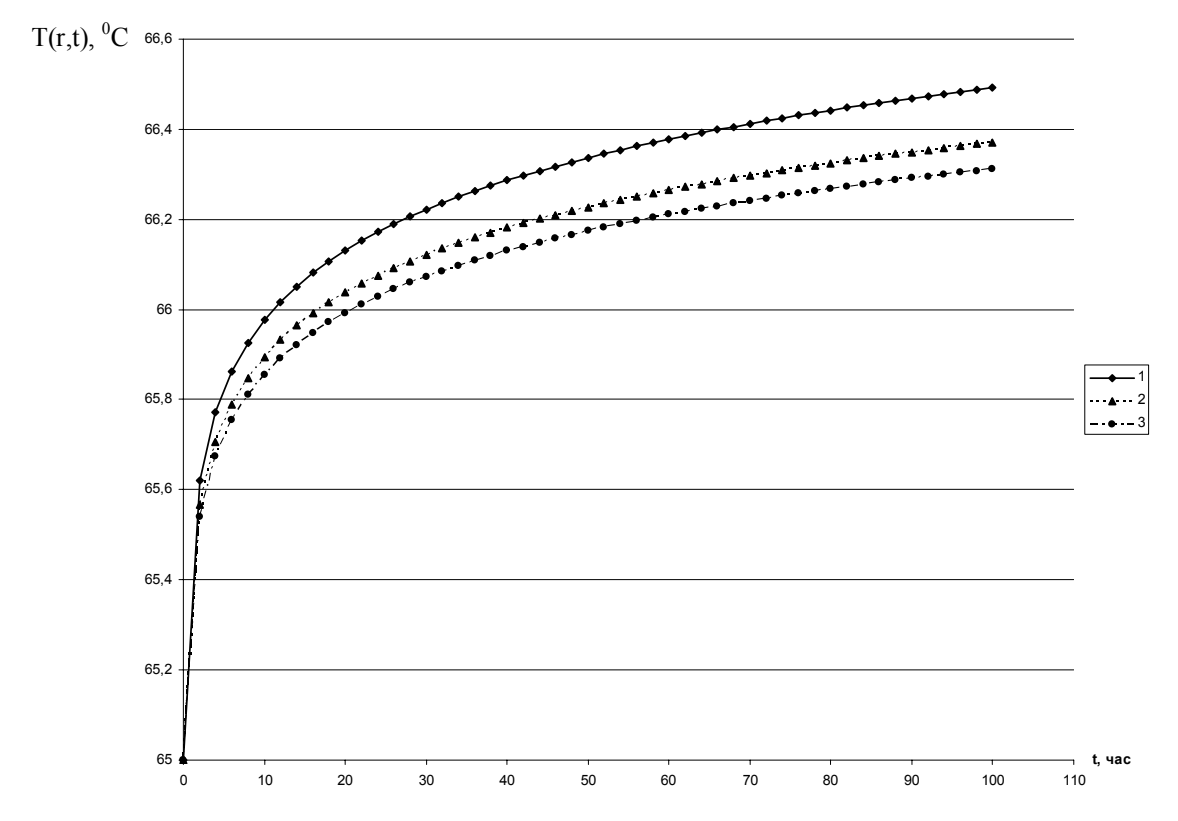


Рис. 3. Изменение температуры на выходе из пласта со временем в зависимости от радиуса контура питания при $R_c = 0.2$ m; h = 10 m; $k_0 = 0, 1 \cdot 10^{-12}$ m²; $T_0 = 65^0$ C; $\epsilon = 4 \cdot 10^{-7}$; $\mu = 0.005$ Па·сек.; $\beta_k = 0.3 \cdot 10^{-8}$ 1/Па; $\Delta P_c = 10^7$ Па; шифр кривых: $1. R_k = 1000$ m; $2. R_k = 2000$ m; $3. R_k = 3000$ m

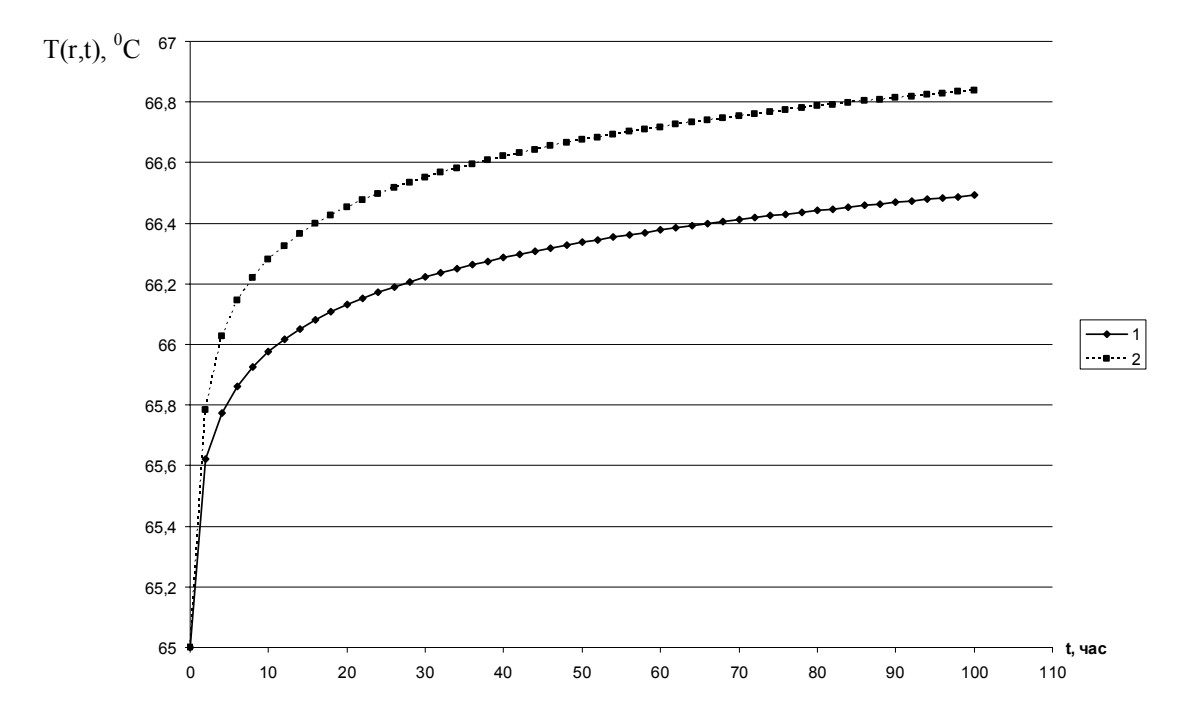


Рис. 4. Изменение температуры на выходе из пласта со временем в зависимости от параметра β_k при $R_c = 0.2$ m; h = 10 m; $k_0 = 0.1 \cdot 10^{-12}$ m²; $T_0 = 65^0$ C; $\epsilon = 4 \cdot 10^{-7}$; $\mu = 0.005$ Па·сек.; $R_k = 1000$ m; $\Delta P_c = 10^7$ Па; шифр кривых: $1. \beta_k = 0.3 \cdot 10^{-8}$ $1/\Pi a$; $2. \beta_k = 0$

Во всех рассмотренных вариантах скорость изменения температуры на выходе из пласта со временем уменьшается.

Из рис. 1 видно, что величина температурной аномалии со временем возрастает, причем тем больше, чем больше перепад давления.

Такие же закономерности наблюдаются соответственно в случаях увеличения значения коэффициента проницаемости пласта и радиуса контура питания (рис.2 и 3). При нелинейно-упругом режиме фильтрации однородной жидкости деформируемость породы в процессе разработки незначительно влияет на формирование температурной аномалии пласта и в процентных отношениях составляет всего 0,5% (рис.4). Этот результат полностью согласуется с результатами, полученными в работах (Джалалов, Горшкова, 2013; Золотарев, Николаевский, 1966).

Таким образом, предложена приближенная математическая модель тепломассопереноса в деформируемом пласте при нелинейноупругом режиме фильтрации нефти, позволяющая исследовать температурную аномалию на выходе из скважины в зависимости от различных геометрических и физических параметров системы.

Следует отметить, что проведенные чис-

ленные эксперименты показали различное влияние входных параметров модели на рассчитываемую величину изменения температуры в пласте в различные периоды времени, что необходимо учитывать при решении обратных задач термометрии.

ЛИТЕРАТУРА

АБАСОВ, М.Т., АЗИМОВ, Э.Х., КУЛИЕВ, А.М. 1993. Гидротермодинамические исследования скважин глубокозалегающих месторождений. Азербайджанское Государственное Издательство. Баку. 176 с.

АЛИШАЕВ, М.Г., РОЗЕНБЕРГ, М.Д., ТЕСЛЮК, Е.В. 1985. Неизотермическая фильтрация при разработке нефтяных месторождений. Москва. Недра. 271с.

ВАХИТОВ, Г.Г., ГАТТЕНБЕРГЕР, Ю.П., ЛУТКОВ, В.А. 1984. Геотермические методы контроля за разработкой нефтяных месторождений. Москва. Недра. 240 с.

ГОРБУНОВ, А.Т. 1981. Разработка аномальных нефтяных месторождений. Москва. Недра. 240 с.

ГОРШКОВА, Е.В. 2009. Экспериментальные исследования влияния эффективного давления и температуры на свойства пород природных резервуаров. Диссертация на соискание ученой степени доктора философии геолого-минералогических наук. Баку. 160 с.

ДЖАЛАЛОВ, Г.И., ГОРШКОВА, Е.В. 2013. Влияние неизотермичности процесса фильтрации жидкости в пласте с деформируемым коллектором на продуктивность скважины. Азербайджанское нефтяное хозяйство, 9, 27-31

ЗОЛОТАРЕВ, П.П., НИКОЛАЕВСКИЙ, В.Н. 1966. Термо-

- динамический анализ нестационарных процессов в насыщенных жидкостью и газом деформируемых пористых средах. В ежегоднике: *Теория и практика добычи нефти*. Москва. Недра. 49-61.
- КАРАЧИНСКИЙ, В.Е. 1975. Методы геотермодинамики залежей газа и нефти. Москва. Недра. 168 с.
- РАМАЗАНОВ, А.Ш. 2004. Теоретические основы термодинамических методов исследования нефтяных пластов. Диссертация на соискание ученой степени докто-
- ра технических наук. Уфа. 269 с.
- ФИЛИППОВ, А.И., AXMETOBA, О.В. 2011. Температурное поле в пласте и скважине. Гилем. Уфа. 329 с.
- ЧЕКАЛЮК, Э.Б. 1965. Термодинамика нефтяного пласта. Москва. Недра. 238 с.
- SHAPERY, R.A. 1963. An approximate method of stress analysis for a larde class problems in viscosity. Pudrue Univ. Pert Anad ES.

Рецензент: член-корреспондент НАН Азербайджана Г.М.Панахов